

## مطالعه تغییر سطح رونویسی ژن بتا-کاتنین در رده سلول سرطانی پانکراس PANC-1 تحت تیمار عصاره میخک

تاریخ دریافت مقاله: ۱۴۰۲/۰۲/۲۴؛ تاریخ پذیرش: ۱۴۰۲/۰۸/۰۷

### چکیده

فانزه قربان فلاح<sup>۱</sup>  
هادی حبیب الهی<sup>۱\*</sup>  
مهرانز احمد شریفی<sup>۱</sup>

۱- گروه زیست شناسی، دانشکده علوم پایه، واحد رشت، دانشگاه آزاد اسلامی، رشت، ایران.

توسعه سرطان پانکراس یک فرآیند بیولوژیکی پیچیده است که در آن ژن‌های مختلفی درگیر هستند. مسیر پیام‌رسانی  $\beta$ -catenin /Wnt نقش مهمی در ایجاد سرطان پانکراس دارد. در این پژوهش تأثیر عصاره حاوی پلی‌فنل میخک بر رده سلولی سرطانی پانکراس PANC-1 و بررسی تغییرات بیان ژن  $\beta$ -catenin مورد ارزیابی قرار گرفت. رده سلولی سرطانی پانکراس PANC-1 از مرکز رویان اصفهان خریداری شد. پس از پاساژهای متوالی به منظور انجام MTT Assay، سلول‌ها در پلیت کشت ۹۶ خانه کشت داده شد و تیمار ۲۴ ساعتی با غلظت‌های مختلف عصاره گیاه میخک انجام گردید و میزان جذب نمونه‌ها در طول موج ۵۷۰ nm مشخص شد. با تفسیر نتایج حاصل از آزمون MTT، میزان  $IC_{50}$  عصاره میخک تعیین گردید. بر اساس  $IC_{50}$ ، کشت سلول‌های PANC1 تحت تیمار با عصاره بدون تیمار (کنترل) انجام شد و سپس با استفاده از کیت، استخراج RNA و سنتز cDNA از سلول‌ها صورت گرفت. با استفاده از پرایمرهای اختصاصی ژن  $\beta$ -catenin و نیز ژن مرجع *actin*، ریل تایم PCR انجام و سپس با روش  $2^{-\Delta\Delta CT}$  تفسیر گردید. ترکیبات موجود در عصاره میخک نیز با روش GC mass تعیین شد. نتایج حاصل از MTT Assay نشان داد که  $IC_{50}$  عصاره میخک در رده سلولی PANC1 در محدوده ۱۰  $\mu\text{g/ml}$  است و با افزایش غلظت عصاره میخک، بقای سلولی سیر کاملاً نزولی دارد. بررسی میزان تغییر رونویسی ژن  $\beta$ -catenin تحت تیمار غلظت  $IC_{50}$  عصاره میخک نیز نشان داد که این عصاره قادر است در سطح معنی‌دار  $p < 0/05$  باعث کاهش ۱/۲۹ برابری بیان این ژن در سطح رونویسی شود که با توجه به افزایش غیر متعارف  $\beta$ -catenin در انواع سرطان، کاهش بیان این ژن تحت تیمار عصاره میخک می‌تواند مطلوب باشد.

**کلمات کلیدی:** سرطان پانکراس، رده سلولی PANC-1، ژن بتا-کاتنین، عصاره میخک

\*نویسنده مسئول:

گروه زیست‌شناسی، دانشکده علوم پایه، واحد رشت، دانشگاه آزاد اسلامی، رشت، ایران.

تلفن: +۹۸۹۲۱۷۳۹۰۳۵۳

ایمیل: hhabibollahi@yahoo.com

## مقدمه

جهش‌های خودبه‌خودی در سلول‌های سوماتیک در سراسر سلول‌های فرد در طول عمر جمع می‌شوند که اکثر این جهش‌ها اثر قابل توجهی ندارند، اما برخی می‌توانند عملکردهای کلیدی سلولی را تغییر دهند. جهش‌های سوماتیکی اولیه می‌تواند باعث اختلالات رشدی شود، در حالی که تجمع تدریجی جهش‌ها در طول زندگی می‌تواند منجر به سرطان شود.<sup>۱</sup> سرطان بیماری پیچیده‌ای است که به صورت موضعی رشد می‌کند و همچنین دارای ظرفیت متاستاز به اندام‌های مختلف بدن است. همچنین یک بیماری عمده می‌باشد و پیش‌بینی می‌شود که تعداد موارد سرطان در سراسر جهان در سال‌های آینده بیش از دو برابر شود و از بیماری قلبی به عنوان عامل اصلی مرگ پیشی بگیرد. علاوه بر همه این‌ها، مدیریت سرطان یک نگرانی رو به افزایش در جمعیت سالخورده است و در کشورهای در حال توسعه اهمیت فزاینده‌ای دارد.<sup>۲</sup> امروزه سرطان یکی از مهم‌ترین مشکلات سلامتی و عامل اصلی مرگ و میر در سراسر جهان است و بیش از ۸/۲ میلیون مرگ را در سال‌های اخیر به خود اختصاص داده است. پلی‌ساکاریدهای زیادی از قارچ‌ها، مخمرها، جلبک‌ها، گل‌سنگ‌ها و گیاهان جدا شده‌اند که خواص ضدسرطانی بالقوه دارند. فعالیت‌های بیولوژیکی این پلی‌ساکاریدها توجه را در زمینه‌های بیوتکنولوژی و پزشکی به خود جلب کرده است.<sup>۳</sup> سرطان پانکراس در رتبه دوازدهم شایعترین سرطان در جهان قرار دارد، اما به دلیل پیش‌آگهی ضعیف، هفتمین علت شایع مرگ ناشی از سرطان می‌باشد.<sup>۴</sup> در حال حاضر سرطان پانکراس یکی از بیماری‌های گوارشی کشنده می‌باشد که بیشتر افراد مسن را درگیر می‌کند. بیش از ۶۰ درصد موارد جدید سرطان و بیش از ۷۰ درصد مرگ و میر ناشی از سرطان در افراد مسن رخ می‌دهد. در ایالات متحده، تنها ۱۳ درصد از تمام بیماران مبتلا به سرطان پانکراس، قبل از ۶۰ سالگی تشخیص داده می‌شوند. رشد سرطان پانکراس یک فرآیند بیولوژیکی پیچیده است که بر اساس انواع مختلف ژن‌ها است.<sup>۵</sup>

*Wnt* ها گلیکوپروتئین‌های ترشح شده‌ای هستند که به عنوان لیگاند برای تحریک مسیرهای انتقال سیگنال با واسطه گیرنده در مهره‌داران و بی‌مهرگان عمل می‌کنند.<sup>۶</sup> فعال‌سازی مسیرهای *Wnt* می‌تواند تکثیر سلولی، بقا، رفتار سلولی و سرنوشت سلولی را تعدیل کند که اغلب به صورت ترکیبی با مسیرهای دیگر کار می‌کنند، از جمله مسیرهای فاکتور رشد فیبروبلاست (FGF) و مسیرهای فاکتور رشد (TGF- $\beta$ ). انواع مختلف

سرطان با بی‌نظمی در مسیر سیگنال‌دهی *Wnt/β-catenin* گزارش شده و تغییر در سیگنال‌دهی *Wnt/β-catenin* با پیشرفت سرطان روده بزرگ و سرطان پانکراس مرتبط است.<sup>۷</sup> بیماران مبتلا به آدنوکارسینوم پانکراس اغلب چندین جهش لیگاند‌های *Wnt* دارند که توسعه و پیشرفت زیر مجموعه‌های سرطان پانکراس به تناوب بستگی به مسیر *Wnt/β-catenin* دارد.  $\beta$ -catenin یکی از مهم‌ترین ژن‌های درگیر در افزایش خطر ابتلا به سندرم‌های ارثی سرطان پانکراس است زیرا تقریباً ۵ تا ۱۰ درصد سرطان پانکراس ارثی هستند.<sup>۸</sup>

تومورهای غدد برون‌ریز پانکراس که به عنوان آدنوکارسینوم مجرای پانکراس نامیده می‌شود، حدود ۹۵ درصد موارد را تشکیل می‌دهد. تومورهای غدد درون‌ریز پانکراس که به ندرت رخ می‌دهد در قسمت‌های غدد درون‌ریز است و به نام تومورهای عصبی غدد پانکراس نامیده می‌شود و کمتر از ۵ درصد از همه موارد را شامل می‌شود.<sup>۹،۱۰</sup> عوامل ژنتیکی در هر دو زیرگروه از سرطان پانکراس (تومورهای غدد برون‌ریز پانکراس و تومورهای غدد درون‌ریز پانکراس) تأثیر گذار است. جهش در ژن‌های *CDKN2A* و *KRAS*، *TP53*، *SMAD4* جزء این عوامل می‌باشد که به عنوان محرک‌های سرطان پانکراس نام برده می‌شوند.<sup>۱۱،۱۲</sup> اکثر بیماران مبتلا به سرطان پانکراس تا اواخر دوره بیماری فاقد علائم خاص بیماری هستند که منجر به تظاهر دیر هنگام و نرخ بقای ناگوار ۵ ساله می‌شود.<sup>۱۳</sup> بسیاری از علائم و نشانه‌ها که توسط تعداد زیادی از بیماران مبتلا به سرطان پانکراس گزارش شده شامل کاهش اشتها، مدفوع رنگ پریده، درد شکم، زردی، نفخ غیر معمول، کاهش وزن، ادرار تیره، یبوست، خارش، خستگی و سوزش غیر معمول می‌باشد.<sup>۱۴</sup>

تصویربرداری با توموگرافی کامپیوتری، تصویربرداری رزونانس مغناطیسی، سونوگرافی آندوسکوپی، توموگرافی انتشار پوزیترون و اکتساب بافت با اسپیراسیون با سوزن ظریف از جمله روش‌های تشخیص سرطان پانکراس است.<sup>۱۵</sup> روش‌های درمانی موجود برای سرطان پانکراس شامل شیمی‌درمانی، جراحی یا رادیوتراپی است. با این حال، شیمی‌درمانی سرطان پانکراس معمولاً منجر به عوارض جانبی جدی در درمان بیماران می‌شود.<sup>۱۶</sup>

*Syzygium aromaticum* که به عنوان میخک شناخته می‌شود، یک گیاه استوایی همیشه سبز است و یکی از محبوب‌ترین گیاهان معطر است که برای پخت و پز به عنوان ادویه یا چاشنی در بسیاری از فرمولاسیون‌های

با روش GC mass تعیین گردید. به منظور به کارگیری غلظت‌های مختلف عصاره میخک در آزمون ۰/۱ MTT، گرم عصاره پودری گیاه با ۹ ml محیط کشت DMEM و ۱ ml از PBS در فالكون ۱۵ ریخته به خوبی ورتکس شد.

#### MTT Assay

به منظور انجام تکنیک MTT Assay از پلیت کشت سلول ۹۶ خانه استفاده شد در هر چاهک محلول کمپلکس حاوی ۳۰۰۰ سلول ریخته شد (شمارش تعداد سلول‌ها توسط لام نئوبار صورت گرفت). در یک ستون از چاهک‌های پلیت فقط محلول کمپلکس بدون سلول به عنوان بلانک ریخته شد. پس از گذشت ۲۴ ساعت و اتصال سلول‌ها به پلیت، عصاره گیاه میخک با غلظت‌های مختلف (۱۰ μg/ml، ۲۵ μg/ml، ۵۰ μg/ml، ۷۵۰ μg/ml، ۱۰۰ μg/ml، ۳۰۰۰ μg/ml) به سلول‌ها اضافه و به مدت ۲۴ ساعت انکوبه شد. یک ستون نیز محیط حاوی سلول بدون تیمار (کنترل منفی)، در نظر گرفته شد. این آزمون با ۶ تکرار صورت گرفت. پس از تخلیه محلول داخل چاهک‌ها، مقدار ۲۵ μl از محلول MTT به تمام چاهک‌ها (به جز خانه‌های بلانک) اضافه شد. پلیت با فویل پوشیده و به مدت ۴ ساعت انکوبه گردید. سپس تمامی محلول MTT با استفاده از سمپلر خارج شد و ۱۰۰ μl ایزوپروپانول به چاهک‌های پلیت (به جز خانه‌های بلانک) اضافه گردید. پس از تکان ۱۵ دقیقه‌ای، جذب نوری چاهک‌های پلیت با استفاده از دستگاه الیزاریدر با طول موج ۵۷۰ nm تعیین شد.

#### استخراج RNA

کمپلکس حاوی سلول به پلیت کشت سلول ۳/۵ cm ریخته شد و به مدت ۲۴ ساعت انکوبه شد. سپس براساس IC<sub>50</sub> بدست آمده غلظت مورد نظر از عصاره میخک به سلول‌ها اضافه و به مدت ۲۴ ساعت انکوبه شد و استخراج RNA با استفاده از کیت استخراج RNA سینا کلون طبق پروتکل صورت گرفت.

#### سنتز cDNA

سنتز cDNA با استفاده از کیت سینا کلون بر طبق پروتکل آن صورت گرفت.

صنایع غذایی استفاده می‌شود و خواص درمانی در سراسر جهان دارد. عصاره هیدروالکلی این گیاهان که به عنوان تنتور نیز نامیده می‌شود، یک شکل دارویی محبوب از گیاهان دارویی است<sup>۱۹،۲۰،۲۱</sup>. میخک در سیستم داروهای سنتی به دلیل اهمیت در دندانپزشکی، خاصیت ادرارآوری، معطر بودن و فعالیت ضدنفخ، آسم و نیز تأثیر در اختلالات مختلف آلرژیک معروف است. علاوه بر این، فعالیت‌های ضدالتهابی، ضدویروسی، ضد میکروبی، ضدباکتریایی، ضدقارچی و ضدتوموری از میخک گزارش شده است و اثبات شده که این گیاه دارای خواص آنتی‌اکسیدانی، ضداسپاسم، ضدعفونی‌کنندگی، ضدحساسیت و ضدجوش‌زایی و ضدسرطان است<sup>۱۸،۱۹،۲۲</sup>.

#### مواد و روش‌ها

##### رده سلولی، پاساژ و انجماد سلول‌ها

در این تحقیق رده سلولی PANC1 از مرکز رویان اصفهان خریداری شد و تعویض محیط فلاسک صورت گرفت و به مدت ۲۴ ساعت در انکوباتور CO<sub>2</sub> قرار گرفت. سلول‌ها جهت بررسی کیفیت و سلامت زیر میکروسکوپ مشاهده شده و تعویض محیط صورت گرفت. پس از پر شدن ۷۰ تا ۸۰ درصدی فلاسک از سلول، پاساژ سلولی انجام شد. برای این منظور تمامی محیط رویی درون فلاسک خارج شد و با PBS شستشو داده و سپس Trypsin\_EDTA 0.05 به فلاسک اضافه و به مدت ۷ دقیقه در انکوباتور قرار داده شد. جهت ختنی کردن اثر Trypsin، محلول کمپلکس (شامل DMEM, FBS, Pen strep, Glutamax, NEAA) افزوده و سپس سانتریفیوژ به مدت ۷ دقیقه با سرعت ۲۰۰۰ rpm انجام گردید. رسوب سلولی حاصل از سانتریفیوژ با محلول کمپلکس به خوبی مخلوط و به فلاسک‌ها اضافه و به مدت ۷۲ ساعت انکوبه شد. به منظور منجمد نمودن سلول‌ها و ذخیره سازی آن‌ها، رسوب سلولی حاصل از سانتریفیوژ با FBS و DMSO مخلوط و به کرایویال منتقل شد.

##### عصاره گیری گیاه میخک

۲۵ گرم پودر گیاه میخک در ۵۰۰ میلی لیتر آب مقطر در دمای ۹۰ درجه سانتی‌گراد مخلوط شد تا حجم نهایی پس از چند ساعت به ۲۰۰ میلی لیتر برسد. پس از سرد شدن، با گاز استریل صاف گردید. سپس عصاره حاصله دوباره بر روی هیتر استیرر قرار گرفت تا تبخیر شدن کامل حلال در فضای آزمایشگاه صورت گیرد. با استفاده از دستگاه فریز درایر، عصاره خمیری بدست آمده به پودر تبدیل شد. ترکیبات موجود در عصاره میخک

## توالی پرایمرهای مورد استفاده در Real time PCR

پرایمرهای مورد استفاده در این پژوهش مطابق جدول ۱ توسط شرکت سینا کلون سنتز گردید. در این آزمایش از ژن Actin به عنوان ژن مرجع استفاده شد.

جدول ۱: پرایمرهای مورد استفاده در پژوهش

توالی	پرایمر	ژن	منبع
3'-GGGCACGAAGGCTCATCATT-5'	Reverse primer	Actin	(۲۳)
3'-AGCGAGCATCCCCAAAGTT-5'	Forward primer		
3'-ATGGTGCGTACAATGGCAGA-5'	Reverse primer	$\beta$ -catenin	(۲۳)
3'-ACTTGCCACACGTGCAATTC-5'	Forward primer		

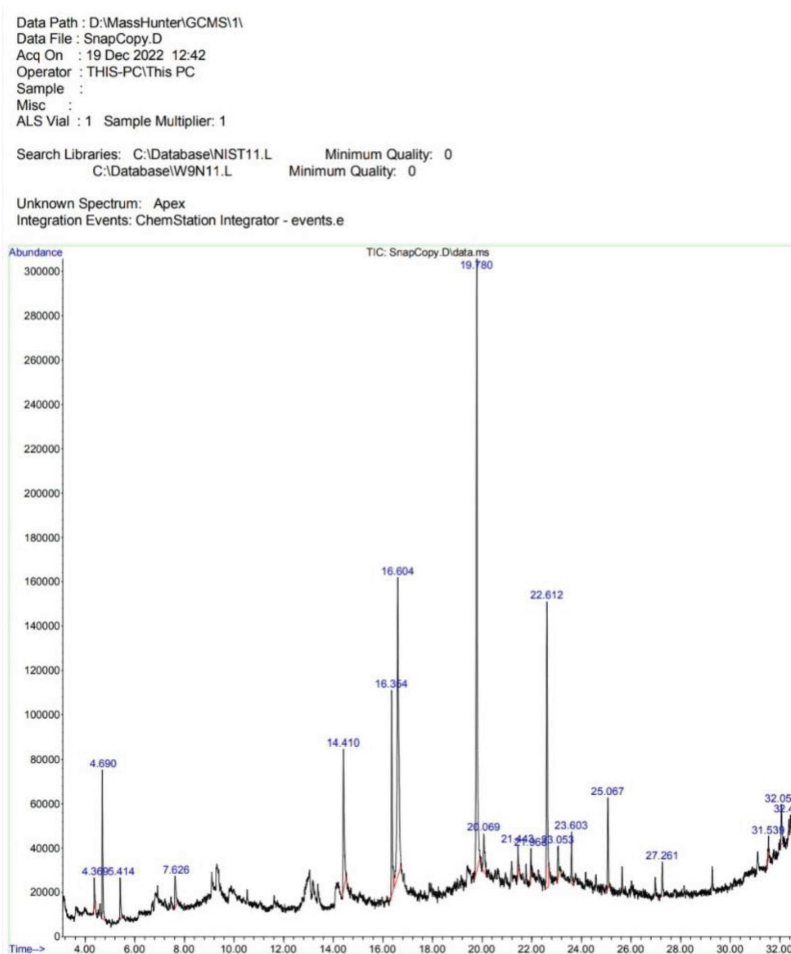
## Real time PCR

Real time PCR توسط کیت شرکت سینا کلون بر طبق پروتکل صورت گرفت.

آنالیز نتایج حاصل از ریل تایم PCR به روش  $2^{-\Delta\Delta Ct}$  انجام شد و میزان Fold Change محاسبه گردید.

## یافته‌ها

## نمودار GC-MS:



## ترکیبات میخک

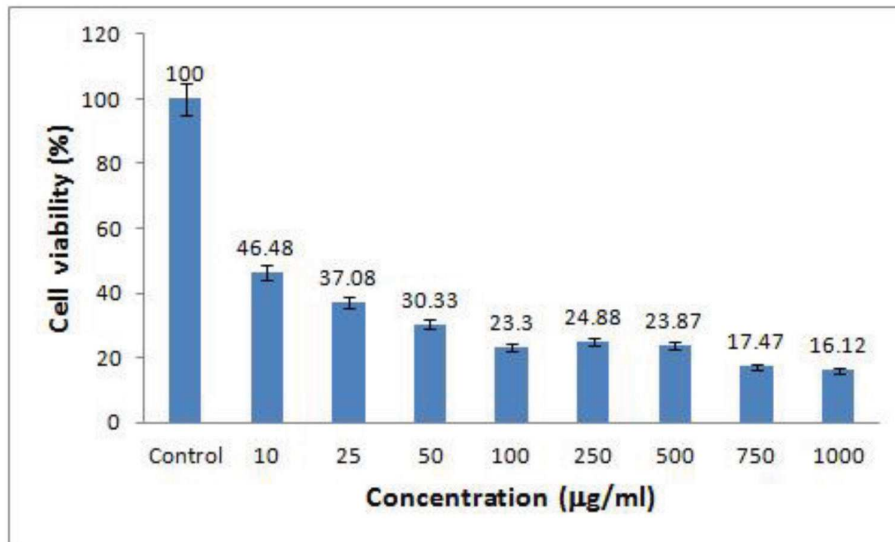
جدول ۲: ترکیبات عصاره میخک بر اساس GC-mass

Peak number	Compound's name	Retention time	Peak area %	Molecular formula
1	2-Imidazolidinethione	4.369	0.71	C3H6N2S
2	Silane, trimethyl(2-methylpropoxy)-	4.689	4.67	C7H18OSi
3	2,2-Dimethyl-3-pentanol	5.416	1.23	C7H16O
4	1,2-Cyclopentanedione	7.624	1.70	C5H6O2
5	2,3-DIHYDRO-BENZOFURAN	14.411	6.85	C9H10O
6	2-Methoxy-4-vinylphenol	16.356	7.96	C9H10O2
7	Cyclohexasiloxane, dodecamethyl-	16.602	21.44	C12H36O6Si6
8	Cycloheptasiloxane, tetradecamethyl-	19.778	28.24	C14H42O7Si7
9	Hexadecamethylcyclooctasiloxane	20.070	2.52	C16H48O8Si8
10	2-Methyl-7-phenylindole	21.443	0.89	C15H13N
11	1H-Benzimidazole	21.964	0.77	C7H6N2
12	Cyclooctasiloxane, hexadecamethyl-	22.610	12.56	C16H48O8Si8
13	2H-1,2,3-Triazole	23.051	1.45	C2H3N3
14	Indole-2-one, 2,3-dihydro-	23.606	1.87	C8H7NO
15	Cyclononasiloxane, octadecamethyl-	25.065	3.25	C18H54O9Si9
16	Hexadecamethyl-cyclooctasiloxane	27.262	1.40	C16H48O8Si8
17	1H-Indole, 2-phenyl-	31.536	0.44	C14H11N
18	Arsenous acid, tris(trimethylsilyl) ester	32.057	1.52	C9H27AsO3Si3
19	2,4,6-Cycloheptatrien-1-one, 3,5...	32.423	0.53	C7H6O

بیشترین درصد ترکیبات عصاره میخک به ترتیب شامل Cycloheptasiloxane tetradecamethyl (با سطح پیک ۲۸/۲۴٪)، Cyclohexasiloxane dodecamethyl (با سطح پیک ۲۱/۴۴٪) و Cyclooctasiloxane hexadecamethyl (با سطح پیک ۱۲/۵۶٪) تعیین گردید.

## نتایج حاصل از MTT Assay

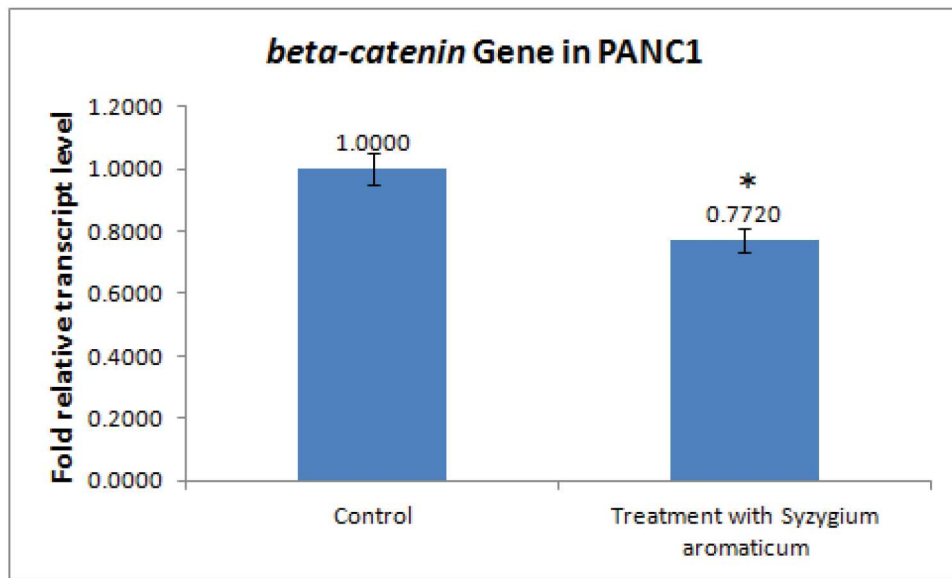
بر اساس نتایج حاصل از ۶ تکرار در هر غلظت به کار گرفته شده از عصاره میخک مشخص شد که این عصاره در غلظت نزدیک به ۱۰  $\mu\text{g/ml}$  قادر است حدود نیمی از سلول‌ها را از بین ببرد. بر این اساس، درصد بقای سلولی (Cell viability) یا به عبارت دیگر  $\text{IC}_{50}$  این آزمون، ۱۰  $\mu\text{g/ml}$  تعیین شد (نمودار ۱).



نمودار ۱: آزمون MTT - تأثیر کشندگی سلولی غلظت‌های مختلف عصاره میخک بر رده سلولی PANC1

#### نتایج حاصل از Real time PCR

با به کارگیری غلظت IC50 عصاره میخک، بررسی بیان ژن  $\beta$ -catenin در نمونه‌های تیمار شده با عصاره میخک نسبت به نمونه‌های کنترل (بدون تیمار) که با قیاس با ژن مرجع *Actin* صورت گرفت نشان داد که عصاره میخک در سطح معناداری  $p < 0.05$  باعث کاهش ۱/۲۹ برابری رونویسی ژن  $\beta$ -catenin شده است (نمودار ۲).



نمودار ۲: تأثیر عصاره میخک بر کاهش ۱/۲۹ برابری ژن بتا-کاتنین در رده سلول سرطانی (PANC1 بیان‌گر معنادار بودن نسبت به نمونه کنترل با  $p < 0.05$  می‌باشد)

## بحث و نتیجه گیری

از دیرباز محصولات طبیعی و گیاهی به عنوان منابع درمانی دقیق مورد استفاده در طب سنتی برای درمان انواع بیماری‌ها از جمله عفونت‌ها و بیماری‌های بدخیم بوده است. فعالیت‌های ضد التهابی، ضد ویروسی، ضد باکتریایی، ضدقارچی و ضدتوموری میخک اثبات شده است.<sup>۲۴</sup> طبق مطالعاتی در سال ۲۰۲۰، تاثیر روغن میخک بر روی سلول‌های سرطانی بررسی گردید و مشخص شد که روغن میخک دارای مکانیسم ضد سرطانی می‌باشد.<sup>۲۵</sup> اثر پلی فنل جوانه میخک در بیماری‌های دیابت و سرطان نیز مورد بررسی قرار گرفته و نتایج آن نشان داده است که عصاره‌های غنی از پلی فنل جوانه میخک باعث مهار فعالیت آلفا آمیلاز و آلفا گلوکوزیداز می‌شود. بنابراین پلی فنل جوانه میخک در پیشگیری از بیماری‌های مرتبط با سترس اکسیداتیو مانند دیابت، سرطان و اختلالات قلبی موثر است.<sup>۲۶</sup> در سال ۲۰۱۴ اثر عصاره میخک بر روی رده‌های سلولی آناتومیکی مختلف در شرایط آزمایشگاهی بررسی گردیده و نتایج آن نشان داده که عصاره میخک خواص ضدتکثیر و آپوپتوز در موش‌های مبتلا به سرطان ریه دارد.<sup>۲۷</sup>

در این پژوهش، تاثیر عصاره گیاه میخک بر روی رده سلولی سرطانی پانکراس PANC1 و بررسی تغییرات بیان ژن بتا-کاتنین که یکی از ژن‌های مهم در مسیر پیام رسانی wnt/ $\beta$ -catenin است مورد ارزیابی قرار گرفت. براساس نتایج حاصل از MTT assay مشخص شد که عصاره میخک اثرات سیتوتوکسیک قابل توجهی بر روی این رده سلول سرطانی دارد و تنها غلظت ۱۰ میکروگرم بر میلی لیتر از عصاره میخک قادر است حدود ۵۰ درصد از سلول‌های PANC1 را از بین ببرد. با توجه به غنای بسیار بالای ترکیبات پلی فنلی در گیاه میخک و اثرات ضد سرطانی اثبات شده ترکیبات فنلی، این احتمال وجود دارد که اثر سیتوتوکسیکی این گیاه مربوط به ترکیبات فنلی آن باشد. در این تحقیق، بر اساس IC<sub>50</sub> به دست آمده از آزمون MTT یعنی غلظت ۱۰  $\mu\text{g/ml}$  از عصاره که در اثر تیمار با آن حدود ۵۰ درصد از سلول‌های PANC1 بقا داشتند، بررسی تغییرات بیان ژن بتا-کاتنین در سطح رونویسی مورد ارزیابی قرار گرفت. براساس نتایج حاصل از آنالیز داده‌های ریل تایم PCR مشخص شد که عصاره میخک می‌تواند باعث ۲۹/۱ برابری رونویسی ژن  $\beta$ -catenin گردد. بتا-کاتنین یکی از اجزای کلیدی و مهم در مسیر سیگنالینگ Wnt است و اثبات شده که نقش مهمی در تشکیل برخی سرطان‌ها دارد. تجمع غیر طبیعی بتا-کاتنین

در اغلب سرطان‌ها گزارش شده است. پروتئین بتا-کاتنین پس از تجمع در سیتوسل، به هسته جابه جا شده و در آنجا با گروهی از فاکتورهای رونویسی تشکیل کمپلکس داده و بدین ترتیب برخی از ژن‌های مهم را فعال می‌کند. عملکرد بیش از حد بتا-کاتنین در بسیاری از تومورهای بدخیم به اثبات رسیده است و افزایش عملکرد بتا-کاتنین باعث ترویج غیر متعارف تکثیر سلولی، مهاجرت و تهاجم سلولی می‌گردد (Yang et al, 2017). با توجه به تحقیقات و گزارش‌های مختلف، کنترل و تعدیل بیان بتا-کاتنین می‌تواند نقش مهمی در کاهش ابتلا به سرطان و با تسریع در بهبود سرطان داشته باشد. در پژوهش حاضر، تأثیر عصاره گیاه میخک بر کاهش ۱/۲۹ برابری رونویسی از ژن بتا-کاتنین به اثبات رسید. البته این میزان تأثیر بر اساس غلظت ۱۰ میکروگرم بر میلی لیتر میخک می‌باشد و احتمالاً غلظت‌های بالاتر از این عصاره، اثر کاهشی بیشتری نشان دهد.

بررسی ترکیبات موجود در عصاره میخک با روش GC mass نشان داد که سه ترکیب از گروه سیکلوکسان‌ها بیشترین غلظت را در این عصاره به خود اختصاص می‌دهند. عمدتاً سیکلوکسان‌ها، هیدروکربن‌های آلیفاتیک (آلکان‌ها) هستند که دارای سمیت سلولی می‌باشند.<sup>۲۸</sup> طبق تحقیقات صورت گرفته ترکیبات اصلی عصاره ساقه کولا نیتیدا و همچنین عصاره نعنا (GC-MS) نیز شامل سیکلوپنتاسیلوکسان تترادکامتیل (۳۵،۲۸۷٪)، سیکلوهگزاسیلوکسان دودکامتیل (۲۴،۹۴۱٪)، سیکلواکتازیلوکسان هگزادکامتیل (۱۷،۵۷۴٪) هستند. به طور کلی این ترکیبات دارای خاصیت ضد توموری و آنتی اکسیدانی قابل توجهی می‌باشند.<sup>۲۹،۳۰</sup>

## تشکر و قدردانی

این پژوهش تحت حمایت معاونت پژوهشی دانشگاه آزاد اسلامی واحد رشت و در شرکت تحقیقاتی زیست فناوری ویرا آرمانیان (Vab Lab) شهر رشت انجام شد. بدین وسیله از زحمات دانشگاه آزاد اسلامی و شرکت زیست فناوری ویرا آرمانیان جهت پشتیبانی این پژوهش تقدیر و تشکر به عمل می‌آید.

## منابع

- 1- Martincorena, I., & Campbell, P. J. Somatic mutation in cancer and normal cells. *Science* 2015;349(6255): 1483-1489.
- 2- Baskar, R., Dai, J., Wenlong, N., Yeo, R., & Yeoh, K. W. Biological response of cancer cells to radiation treatment. *Frontiers in molecular biosciences* 2014;1: 24.
- 3- Prasedya, E. S., Miyake, M., Kobayashi, D., & Hazama, A. Carrageenan delays cell cycle progression in human cancer cells in vitro demonstrated by FUCCI imaging. *BMC complementary and alternative medicine* 2016;16(1): 1-9.
- 4- Tukenmez, U., Aktas, B., Aslim, B., & Yavuz, S. The relationship between the structural characteristics of lactobacilli-EPS and its ability to induce apoptosis in colon cancer cells in vitro. *Scientific reports* 2019;9(1): 1-14.
- 5- Vogtmann, E., Han, Y., Caporaso, J. G., Bokulich, N., Mohamadkhani, A., Moayyedkazemi, A., ... & Pourshams, A. Oral microbial community composition is associated with pancreatic cancer: A case-control study in Iran. *Cancer medicine*, 2019;9(2): 797-806.
- 6- Higuera, O., Ghanem, I., Nasimi, R., Prieto, I., Koren, L., & Feliu, J. Management of pancreatic cancer in the elderly. *World journal of gastroenterology* 2016;22(2): 764.
- 7- Ariston Gabriel, A. N., Wang, F., Jiao, Q., Yvette, U., Yang, X., Al-Ameri, S. A., ... & Wang, C. The involvement of exosomes in the diagnosis and treatment of pancreatic cancer. *Molecular cancer*, 2020;19(1): 1-9.
- 8- Yao, H., Ashihara, E., & Maekawa, T. Targeting the Wnt/ $\beta$ -catenin signaling pathway in human cancers. *Expert opinion on therapeutic targets* 2011;15(7): 873-887.
- 9- Moon, R. Wnt/ $\beta$ -Catenin Pathway. *Science's STKE* 2005: 271.
- 10- Javadinia, S. A., Shahidsales, S., Fanipakdel, A., Joudi-Mashhad, M., Mehramiz, M., Talebian, S., ... & Avan, A. Therapeutic potential of targeting the Wnt/ $\beta$ -catenin pathway in the treatment of pancreatic cancer. *Journal of Cellular Biochemistry* 2018; 120(5): 6833-6840.
- 11- Gupta, S., Kumar, A., & Tejavath, K. K. A pharmacognostic approach for mitigating pancreatic cancer: emphasis on herbal extracts and phytoconstituents. *Future Journal of Pharmaceutical Sciences* 2021;7(1): 1-29.
- 12- Ilic, M., & Ilic, I. Epidemiology of pancreatic cancer. *World journal of gastroenterology* 2016;22(44): 9694.
- 13- Sinkala, M., Mulder, N., & Martin, D. Machine learning and network analyses reveal disease subtypes of pancreatic cancer and their molecular characteristics. *Scientific reports* 2020; 10(1): 1-14.
- 14- Yoon, K. A., Woo, S. M., Kim, Y. H., Kong, S. Y., Lee, M. K., Han, S. S., ... & Park, S. J. Comprehensive cancer panel sequencing defines genetic diversity and changes in the mutational characteristics of pancreatic cancer patients receiving neoadjuvant treatment. *Gut and liver* 2019; 13(6): 683.
- 15- Hart, P. A., Kamada, P., Rabe, K. G., Srinivasan, S., Basu, A., Aggarwal, G., & Chari, S. T. Weight loss precedes cancer-specific symptoms in pancreatic cancer-associated diabetes mellitus. *Pancreas* 2011; 40(5): 768-772.
- 16- Holly, E. A., Chaliha, I., Bracci, P. M., & Gautam, M. Signs and symptoms of pancreatic cancer: a population-based case-control study in the San Francisco Bay area. *Clinical Gastroenterology and Hepatology* 2004; 2(6): 510-517.
- 17- Zhang, L., Sanagapalli, S., & Stoita, A. Challenges in diagnosis of pancreatic cancer. *World journal of gastroenterology* 2018; 24(19): 2047.
- 18- Ali, I., Naqshbandi, M. F., & Husain, M. Cell migration and apoptosis in human lung cancer cells by clove (*Syzygium aromaticum*) dried flower buds

- extract. *Journal of Taibah University for Science* 2019;13(1): 1163-1174.
- 19- Pulikottil, S. J., & Nath, S. Potential of clove of *Syzygium aromaticum* in development of a therapeutic agent for periodontal disease: a review. *South African Dental Journal* 2015; 70(3): 108-115.
- 20- Ali, I., Naqshbandi, M. F., & Husain, M. Cell migration and apoptosis in human lung cancer cells by clove (*Syzygium aromaticum*) dried flower buds extract. *Journal of Taibah University for Science* 2019;13(1): 1163-1174.
- 21- Köprü, S., Say, R., Karaman, K., Yilmaz, M. M., & Kaplan, M. Optimization of processing parameters for the preparation of clove (*Syzygium aromaticum*) hydroalcoholic extract: A response surface methodology approach to characterize the biofunctional performance. *Journal of Applied Research on Medicinal and Aromatic Plants* 2019;16:100236.
- 22- Liu, M., Zhao, G., Zhang, D., An, W., Lai, H., Li, X., ... & Lin, X. Active fraction of clove induces apoptosis via PI3K/Akt/mTOR-mediated autophagy in human colorectal cancer HCT-116 cells. *International journal of oncology* 2018;53(3):1363-1373.
- 23- Shen, H., Yan, W., Yuan, J., Wang, Z., & Wang, C. Nk2B activates the wnt pathway and promotes triple-negative breast cancer chemotherapy-resistance by stabilizing  $\beta$ -catenin. *Journal of Experimental & Clinical Cancer Research* 2019;38(1): 1-17.
- 24- Imran, M., Rauf, A., Abu-Izneid, T., Nadeem, M., Shariati, M. A., Khan, I. A., ... & Mubarak, M. S. Luteolin, a flavonoid, as an anticancer agent: A review. *Biomedicine & Pharmacotherapy*, 2019;112: 108612.
- 25- Azadi, M., Alemi, F., Sadeghi, S., Mohammadi, M., Rahimi, N. A., Mirzaie, S., ... & Zamani, Z. An Integrative In Silico Mathematical Modelling Study of The Anti-Cancer Effect of Clove Extract (*Syzygium aromaticum*) Combined with In Vitro Metabolomics Study Using <sup>1</sup>HNMR Spectroscopy. *Iranian Journal of Biotechnology* 2020; 18(3): e2336.
- 26- Atawodi, S. E., Atawodi, J. C., Pfundstein, B., Spiegelhalder, B., Bartsch, H., & Owen, R. Assessment of the polyphenol components and in vitro antioxidant properties of *Syzygium aromaticum* (L.) Merr. & Perry. *Electronic Journal of Environmental, Agricultural & Food Chemistry* 2011; 10(3).
- 27- Liu, H., Schmitz, J. C., Wei, J., Cao, S., Beumer, J. H., Strychor, S., ... & Lin, X. Clove extract inhibits tumor growth and promotes cell cycle arrest and apoptosis. *Oncology Research Featuring Preclinical and Clinical Cancer Therapeutics* 2014;21(5): 247-259.
- 28- Etteieb, S., Cherif, S., Kawachi, A., Han, J., Elayni, F., Tarhouni, J., & Isoda, H. Combining biological and chemical screenings to assess cytotoxicity of emerging contaminants in discharges into surface water. *Water, Air, & Soil Pollution* 2016;227(9): 1-12.
- 29- Mebude, O. O., & Adeniyi, B. GC-MS analysis of phyto components from the stem bark of *Cola nitida* Schott & Endl. *Journal of Plant Sciences* 2017;5(4): 99-103.
- 30- Al-Ali, Z. T. Effect of spraying with bio stimulators "Agrosign and liquid humus" in the chemical content and production of biofuel vehicles for oil of local mint plant (*Mentha spicata* L.). *Plant Archives* 2019;19(2): 2937-2943.

## Studying the change in transcription level of beta-catenin gene in PANC-1 pancreatic cancer cell line treated with clove extract

Received: 14 May 2023 ; Accepted: 29 Oct 2023

Faezeh Ghorban Fallah<sup>1</sup>  
Hadi Habibollahi<sup>1\*</sup>  
Mehrnaz Ahmad Sharbafi<sup>1</sup>

1- Department of Biology, Faculty of  
Basic Sciences, Rasht Branch, Islamic  
Azad University, Rasht, Iran

### Abstract

Pancreatic cancer development is a complex biological process in which various genes are involved. The  $\beta$ -catenin/Wnt signaling pathway plays an important role in the development of pancreatic cancer. In this research, the effect of clove polyphenol extract on PANC-1 pancreatic cancer cell line and the changes in  $\beta$ -catenin gene expression were evaluated. PANC-1 pancreatic cancer cell line was purchased from the Royan center of Isfahan. After successive passages in order to perform MTT assay, the cells were cultured in 96-well culture plates and treated for 24 hours with different concentrations of clove plant extract, and the absorbance of the samples was determined at a wavelength of 570 nm. By interpreting the results of the MTT test, the IC<sub>50</sub> value of clove extract was determined. Based on IC<sub>50</sub>, PANC1 cells were cultured under treatment with extract and without treatment (control), and then using the kit, RNA extraction and cDNA synthesis were done from the cells. Using specific primers for  $\beta$ -catenin gene and actin reference gene, real-time PCR was performed and then interpreted by  $2^{-\Delta\Delta CT}$  method. The compounds in clove extract were also determined by mass GC method. The results of MTT assay showed that the IC<sub>50</sub> of clove extract in PANC1 cell line is in the range of 10  $\mu$ g/ml and with increasing concentration of clove extract, cell survival is completely decreased. Examining the transcriptional change of  $\beta$ -catenin gene under the treatment of IC<sub>50</sub> concentration of clove extract also showed that this extract is able to decrease the expression of this gene by 1.29 times at the level of transcription at a significant level of  $p < 0.05$ , which due to the unconventional increase of  $\beta$ -catenin in all types of cancer, reducing the expression of this gene under the treatment of clove extract can be desirable.

**Key words:** Pancreatic cancer, PANC-1 cell line, beta-catenin gene, clove extract

\* Corresponding Author:

Department of Biology, Faculty of Basic  
Sciences, Rasht Branch, Islamic Azad  
University, Rasht, Iran.

Tel: +98 921 739 0353

E-mail: hhabibollahi@yahoo.com